

تحلیل سینتیکی تاثیر pH بر روی حذف فتوکاتالیستی رنگدانه متیلن بلو توسط پودر نانوکامپوزیتی Fe-FeS

حسن اسماعیلی، سعید شبیانی*، فرشته رشچی

دانشگاه تهران، مهندسی متالورژی و مواد، تهران، ایران.

تاریخ ثبت اولیه: ۱۳۹۶/۲/۱۰، تاریخ دریافت نسخه اصلاح شده: ۱۳۹۶/۵/۸، تاریخ پذیرش قطعی: ۱۳۹۶/۷/۲۶

چکیده در این پژوهش، عملکرد فتوکاتالیستی پودرهای کامپوزیتی نانوساختار Fe-39%FeS سنتز شده به روش مکانوترمال مورد بررسی قرار گرفت. ابتدا مخلوط پودری Fe و S با نسبت اتمی آهن به گوگرد برابر ۱:۲ تحت فعال سازی مکانیکی قرار گرفت و سپس به مدت دو ساعت در دمای ۸۵۰ درجه سانتی گراد عملیات حرارتی شد. به منظور مشخصه یابی پودر سنتز شده از آنالیزهای پراش پرتو ایکس (XRD)، میکروسکوپ الکترونی روبشی گسیل میدانی (FESEM) و طیف سنج مرئی - فرابنفش (UV-vis spectroscopy) بهره برده شد. نتایج XRD سنتز موفق ساختار کامپوزیتی Fe-FeS را نشان داد. تصاویر FESEM نیز ذرات پودری با اندازه کمتر از دو میکرون را پس از عملیات حرارتی نمایش می دهد. همچنین در بررسی فتوکاتالیستی، تاثیر pH به عنوان عامل موثر بررسی شد. نتایج نشان داد که در محیط های بازی میزان تخریب متیلن بلو بیشتر از محیط های اسیدی و خنثی است که در مورد pH برابر ۱۱ پس از تابش ۱۹۵ دقیقه نور مرئی ۹۱ درصد از متیلن بلو مورد تخریب قرار گرفت. علاوه بر این نتایج بررسی های سینتیکی نیز نشان داد که فرآیند تخریب فتوکاتالیستی در ابتدا (۰-۷۵ دقیقه) از مدل درجه اول پیروی ولی با گذشت زمان با تغییر سازوکار از مدل درجه دوم پیروی می کند.

کلمات کلیدی: فتوکاتالیست، کامپوزیت، نانوساختار، Fe-FeS، سینتیک، pH.

Kinetic Study on the Effect of PH in the Photocatalytic Degradation of Methylene Blue With Fe-FeS Nanocomposite Powder

Hasan Esmaili, Saeed Sheibani*, Fereshteh Rashchi

University of Tehran, School of Metallurgy and Materials Engineering, Tehran, Iran.

Abstract In this paper, photocatalytic activity of mechanothermally synthesized Fe-39%FeS nanostructured composite powder is investigated. Fe and S powders mixture with atomic ratio of 2:1 (Fe:S) is mechanically activated and then heat treated at 850°C for 2 h. X-ray diffraction (XRD), Field Emission Scanning Electron Microscopy (FESEM) and UV-vis spectroscopy are applied for characterization of composite powder. XRD results are shown that Fe-FeS powder was synthesized successfully. FESEM images showed that powder with the size of less than 2 μm is formed after heat treatment. Also, the effect of pH as an effective factor is investigated. It can be seen that the degradation efficiency in basic solution is higher than acidic and neutral solution. Dyes degradation reached to 91% after 195 min irradiation of visible light in pH=11. In addition, kinetic study showed that the photocatalytic degradation is initially (0-75 min) followed by first order model and after that the mechanism is possibly changed to the second order model.

Keywords: Photocatalyst, Composite, Nanostructure, Fe-FeS, Kinetics, pH.

۱- مقدمه

توانایی فتوکاتالیست برای تولید الکترون‌ها و حفره‌ها با طول عمر زیاد است که موجب تشکیل رادیکال‌های آزاد فعال می‌شود [۴].

یکی از فتوکاتالیست‌هایی که به‌تازگی مورد توجه قرار گرفته است FeS است. FeS به دلیل داشتن باند شکاف پایین دارای خواص فتوکاتالیستی در محدوده نور مرئی است. به همین دلیل می‌تواند جایگزین مناسبی برای TiO_2 به عنوان گسترده‌ترین کاتالیست باشد که در محدوده نور فرابنفش کاربرد دارند [۵]. خواص و کاربرد فتوکاتالیستی نانوذرات FeS در پژوهش‌های محدودی مورد مطالعه قرار گرفته است [۳،۶] که حاکی از کاربرد مناسب این نانوذرات است. اما علی‌رغم خواص مطلوب فتوکاتالیست FeS و بررسی‌های صورت گرفته روی خواص فتوکاتالیستی نانوذرات FeS، جداسازی این ذرات پس از انجام واکنش با دشواری روبرو است. لذا ساختارهای کامپوزیتی Fe-FeS به منظور افزایش خواص مغناطیسی آن به واسطه حضور آهن در ساختار مورد توجه قرار گرفته است. در پژوهشی که توسط فنگ و همکاران [۷] صورت گرفت خواص فتوکاتالیستی نانوذرات FeS-Fe مورد بررسی قرار گرفت. اما محدودیت این روش نیاز به ماده اولیه نانوذرات آهن با هزینه زیاد است. بنابراین در پژوهش حاضر، ذرات نانو ساختار کامپوزیتی Fe-FeS به روش مکانو ترمال از پودر آهن میکرونی و با هزینه کمتر سنتز شده اند. سپس خواص فتوکاتالیستی پودرهای سنتز شده در تخریب رنگدانه MB مورد مطالعه قرار گرفته است. هم‌چنین تاثیر عامل pH بر روی فرآیند تخریب فتوکاتالیستی مورد مطالعه سینتیکی قرار گرفته است.

۲- روش تحقیق

۲-۱ مرحله سنتز مکانو ترمال

به منظور تولید پودر کامپوزیتی Fe-39 wt.%FeS، آسیابکاری مخلوط ۲۰ گرم پودر آهن و گوگرد به نسبت مولی ۲ به ۱ در محفظه فولادی سخت شده و با استفاده از گلوله‌هایی به قطر ۱۵ میلی‌متر و از جنس فولاد سخت شده با نسبت گلوله به پودر ۱۰ به ۱ تحت اتمسفر آرگون و با سرعت چرخش ۳۰۰ دور بر دقیقه توسط آسیای سیاره‌ای مدل

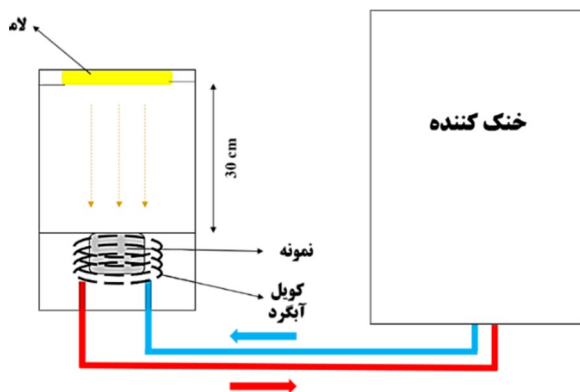
امروزه به‌طور میانگین، ۱۵ درصد از مجموع تولید جهانی رنگدانه‌ها در حین فرآیندهای تولید هدر رفته و در پسماندهای واحدهای تولیدی رها می‌شوند. آزاد شدن این پساب‌های حاوی رنگدانه‌ها در محیط زیست یکی از بزرگترین منابع آلودگی و تهدیدی برای منابع آبی است. پژوهشگران روش‌های مختلفی برای تصفیه پساب‌های صنعتی بررسی کرده‌اند. از جمله آن‌ها می‌توان به مواد جاذب، تجزیه الکترولیتی، تبادل یونی و روش‌های بیولوژیکی اشاره کرد [۱]. هم‌چنین به‌تازگی تحقیقات بسیاری جهت تخریب نوری بسیاری از ترکیب‌های آلی خطرناک با استفاده از فتوکاتالیست‌های اکسیدی و سولفیدی در حضور نور مرئی و ماوراء بنفش (UV^1) انجام شده است [۲،۳]. از آن جمله می‌توان تخریب رنگ‌های آزو، متیلن بلو^۲ (MB) و متیل اورانژ^۳ (MO) را نام برد. از مزایای روش تخریب فتوکاتالیستی می‌توان به عملکرد در دما و فشار محیط، امکان استفاده از نور خورشید به دلیل اقتصادی شدن فرآیند، قیمت پایین کاتالیست‌های مصرفی و کارا بودن سیستم در غلظت‌های پایین و عدم نیاز به افزودن مواد شیمیایی اشاره کرد.

نیمه‌هادی‌هایی مانند TiO_2 ، ZnO ، CdS و FeS می‌توانند به عنوان مواد حساس به نور، به دلیل ساختار اتمی (لایه ظرفیت پر و لایه هدایت خالی)، در فرآیندهای احیا به عنوان فتوکاتالیست عمل کنند. در فتوکاتالیست‌ها، الکترون از لایه ظرفیت به لایه هدایت به وسیله نور با انرژی بالاتر، که با انرژی پیوند متناسب است، برانگیخته می‌شود. در نتیجه جفت $e^- - cb$ (الکترون لایه هدایت) و h^+_{VB} (حفره لایه ظرفیت) تشکیل می‌شود. در طی فرآیندهای فتوکاتالیستی، الکترون/حفره‌های آزاد و انواع گونه‌های فعال اکسیدکننده^۴ (ROS) مانند H_2O ، HO و O_2 با ناخالصی‌های جذب شده در سطح شامل مواد غیرآلی، آلی و گونه‌های بیولوژیکی (نظیر باکتری‌ها و ویروس‌ها) واکنش می‌دهند و منجر به تجزیه آن‌ها می‌شود. کارایی واکنش‌های فتوکاتالیستی به‌طور عمده‌ای وابسته به

¹ Ultra violet² Methylene Blue³ Methyl Orange⁴ Reactive oxidizing species

۲-۲ بررسی تخریب فتوکاتالیستی

به منظور بررسی خاصیت فتوکاتالیستی نمونه تهیه شده، پودرهای کامپوزیتی FeS-Fe ابتدا به مدت ۲۰ دقیقه در ۴۰ میلی لیتر از محلول حاوی رنگدانه‌ها در حمام التراسونیک^۴ قرار داده شد تا نمونه‌ای همگن از رنگدانه‌ها و پودر تهیه شده به دست آید. سپس به مدت ۳۰ دقیقه محلول حاوی رنگدانه و پودر در محیط تاریک قرار گرفتند تا به حالت تعادل برسد. پس از آن به مدت ۱۹۵ دقیقه محلول تحت تابش نور مرئی قرار گرفت. شماتیک دستگاه فتوکاتالیست در شکل ۱ آورده شده است. همچنین برای تنظیم pH از اسید سولفوریک با خلوص ۹۹ درصد و نمک سدیم هیدروکسید ۹۸ درصد استفاده شد. در بازه‌های زمانی مختلف از محلول نمونه برداری شد که در این مرحله کاتالیست‌ها به وسیله یک آهن‌ربا و میدان مغناطیسی آن از محلول جدا شدند. در نهایت، محلول بدون حضور پودرهای تهیه شده به وسیله طیف سنج مرئی فرابنفش^۵ (مدل PG T80) مورد مطالعه قرار گرفت و تغییرات شدت طیف عبوری در هر بازه اندازه‌گیری شد. از مقایسه این طیف‌ها با یکدیگر پیشرفت واکنش فتوکاتالیستی هر نمونه به دست آمد.



شکل ۱. تصویر شماتیک دستگاه آزمایش خاصیت فتوکاتالیستی.

۳-۲ سینتیک واکنش‌های فتوکاتالیستی

مطالعات سینتیکی روی نیمه‌هادی‌های مختلف به منظور یافتن مدل مناسب برای واکنش‌های فتوکاتالیستی صورت گرفته است. مدل‌های مختلفی برای این واکنش‌ها گزارش شده است. از جمله مدل درجه اول (رابطه ۳) [۵-۷] و معادله درجه ۲ (رابطه ۴) [۱۱-۱۳] که در زیر آورده شده است که در این

به مدت زمان یک ساعت صورت پذیرفت. همچنین از NaCl به عنوان عامل کنترل‌کننده فرآیند به مقدار پنج درصد وزنی مخلوط پودری استفاده شد. با توجه به نتایج به دست آمده از پژوهش‌های قبلی [۸،۹]، استفاده از این میزان نمک به عنوان عامل کنترل‌کننده فرآیند در نظر گرفته شده است. سپس مخلوط پودری آسیاکاری شده به منظور به دست آوردن ساختار FeS-Fe به مدت دو ساعت تحت عملیات حرارتی در دمای ۸۵۰ درجه سانتی‌گراد درون لوله کوارتزی خلاء شده در کوره قرار گرفت. علت استفاده از سنتز دو مرحله‌ای و مرحله عملیات حرارتی به دست آوردن ساختار پوسته- هسته و تشکیل پوسته FeS بر روی سطح ذرات Fe است تا واکنش فتوکاتالیستی بر روی سطح ذرات یعنی فاز FeS انجام شود. در حالی که در صورت استفاده از فرآیند آسیاکاری به منظور انجام واکنش، ساختار دوفازی کامپوزیتی به صورت غیریکنواخت تشکیل می‌شود.

برای مشخصه‌یابی پودرهای سنتز شده از آنالیزهای دستگاه پراش اشعه ایکس (XRD) مدل PW3040/60 با لامپ از جنس مس و تحت پرتو $K\alpha$ با طول موج $1/54178$ آنگستروم، میکروسکوپ الکترونی روبشی گسیل میدانی^۲ (FESEM) ساخت شرکت هیتاچی مدل S4160 و میکروسکوپ الکترونی عبوری^۳ (TEM) مدل PW3040/60 تحت ولتاژ ۱۵۰ kV بهره گرفته شد. به منظور محاسبه اندازه بلورک‌ها برای نمونه آسیاکاری شده و عملیات حرارتی شده از رابطه شرر (رابطه ۱) استفاده شد. همچنین برای حذف پهن شدگی ناشی از خطای دستگاه روش وارن (رابطه ۲) به کار گرفته شده است [۱۰].

$$\beta = K\lambda / D \cos \theta \quad \text{رابطه (۱)}$$

$$\beta^2 = \beta_{obs}^2 - \beta_i^2 \quad \text{رابطه (۲)}$$

در روابط بالا β ، پهنای پیک در نصف ارتفاع حداکثر، θ زاویه براگ، λ طول موج اشعه ایکس، D اندازه متوسط بلورک، $m\beta$ پهن شدگی به دست آمده از الگوی پراش و β_i پهن شدگی ناشی از خطای دستگاه است. K ثابت شرر است که به طور معمول برابر با ۰٫۹ است.

^۱ X-ray Diffraction

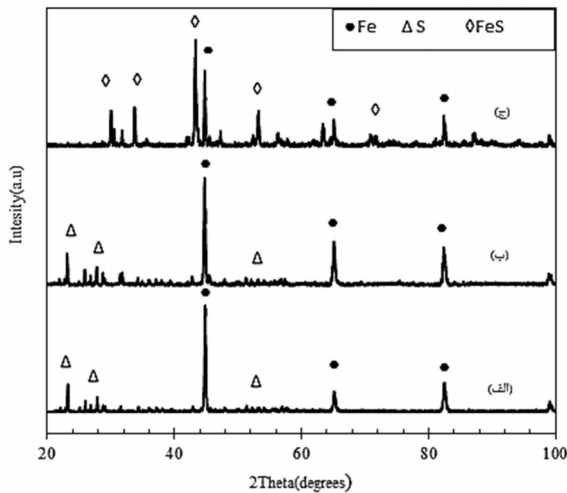
^۲ Field Emission Electron Microscopy

^۳ Transmission Electron Microscopy

^۴ Ultrasonic bath

^۵ UV-vis spectrophotometer

درجه به ترتیب ۴۳ و ۸۶ نانومتر به دست آمد. علت افزایش اندازه بلورک پس از عملیات حرارتی هم تشکیل ساختار FeS همزمان با رشد دانه‌ها طی عملیات حرارتی در دمای ۸۵۰ درجه سانتی‌گراد است.



شکل ۲. الگوهای XRD نمونه‌های (الف) مخلوط اولیه، (ب) یک ساعت آسیابکاری شده و (ج) یک ساعت آسیابکاری شده و سپس عملیات حرارتی شده در دمای ۸۵۰ درجه سانتی‌گراد.

به منظور بررسی مورفولوژی پودر از آنالیز FESEM استفاده شد. شکل ۳ (الف) نشان‌دهنده تصویر FESEM نمونه مخلوط اولیه است. مناطق روشن‌تر مربوط به آهن و مناطق تیره‌تر مربوط به ذرات گوگرد است که در شکل هم با فلش نشان داده شده و دارای ذرات با مورفولوژی نامنظم است. ذرات نسبی درشت و با اندازه متوسط حدود ۲۰ میکرون در مخلوط اولیه پودری مشاهده می‌شود. تصویر ۳ (ب) نیز مربوط به نمونه آسیابکاری مکانیکی شده به مدت یک ساعت است. از تصاویر مشخص است که علاوه بر کاهش اندازه ذرات به حدود یک میکرون متوسط توزیع اندازه ذرات هم یکنواخت‌تر شده است. البته علاوه بر تاثیر آسیابکاری مکانیکی، حضور NaCl هم به عنوان کنترل‌کننده فرآیند و جلوگیری از آگلومراسیون ذرات [۹]، دلیل این موضوع می‌تواند باشد. شکل ۳ (ج) تصویر پودر کامپوزیتی پس از عملیات حرارتی را نشان می‌دهد که از تعداد زیادی پودرهای فوق ریزدانه در کنار هم تشکیل شده است. این ذرات دارای قطری کمتر از دو میکرون هستند و در کنار آنها ذرات با ابعاد کمتر از ۵۰۰ نانومتر هم دیده می‌شود.

روابط C_0 برابر با غلظت اولیه رنگدانه، C غلظت لحظه‌ای در زمان t ، k_1 ثابت سرعت درجه اول، k_2 ثابت سرعت درجه دوم است.

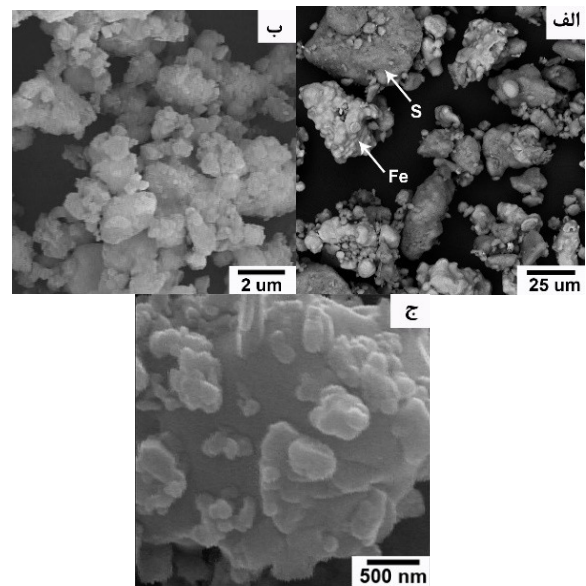
$$\text{رابطه (۳)} \quad \ln \frac{C_0}{C} = k_1 t$$

$$\text{رابطه (۴)} \quad \ln \frac{C_0}{C} = k_2 t$$

۳- نتایج و بحث

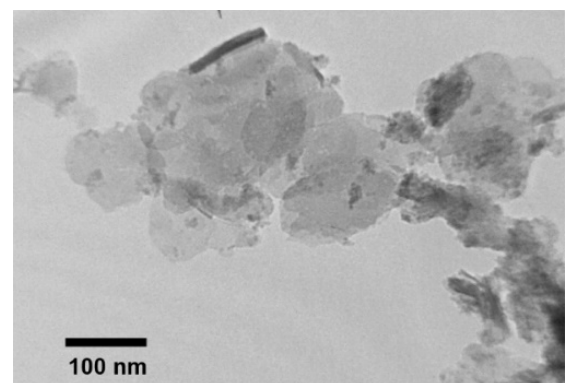
به منظور تعیین ساختار فازی نمونه مخلوط اولیه، نمونه یک ساعت آسیابکاری شده و هم‌چنین نمونه یک ساعت آسیابکاری و سپس عملیات حرارتی شده از آنالیز XRD استفاده شد. با توجه به نتایج به دست آمده از آنالیز XRD (شکل ۲) مشخص شد که الگوی XRD نمونه مخلوط اولیه (شکل ۲ (الف)) و یک ساعت آسیابکاری شده (شکل ۲ (ب)) به طور تقریبی مشابه هستند و تنها تا حدودی بر پهنای پیک‌های XRD در نمونه آسیابکاری شده افزوده گردیده است. علت این موضوع هم افزایش کرنش شبکه و هم‌چنین کاهش اندازه بلورک‌ها ناشی از انرژی مکانیکی اعمال شده حین آسیابکاری در ساختار پودر است. لازم به ذکر است که هدف از مرحله آسیابکاری ریز کردن مخلوط پودری اولیه و تا حدودی فعال سازی مکانیکی است، لذا زمان آسیابکاری یک ساعت به عنوان زمان آسیابکاری مناسب برای فعال‌سازی مخلوط پودر آهن و گوگرد انتخاب شد. هم‌چنین پیک‌های مربوط به NaCl به دلیل مقدار کم در الگوهای XRD قابل مشاهده نیست که در تطابق با پژوهش قبلی است [۱۴]. شکل ۲ (ج) نشان‌دهنده الگوی XRD نمونه عملیات حرارتی شده است، پیک‌های Fe در زاویه ۴۴ درجه و FeS در زاویه پراش ۴۳ درجه، این موضوع را گواه است که FeS از واکنش بین آهن و گوگرد پس از مرحله عملیات حرارتی به وجود می‌آید. هم‌چنین پیک‌های مربوط به گوگرد به طور کامل حذف شده‌اند. شایان ذکر است که پیک‌های مربوط به Fe هم‌چنان در ساختار نهایی باقی‌مانده است. دلیل این امر نسبت آهن به گوگرد دو به یک در مخلوط اولیه و در واقع بیشتر از استوکیومتری لازم برای تشکیل FeS است. هم‌چنین اندازه بلورک‌ها با استفاده از روش شرر محاسبه شد که اندازه بلورک‌ها برای نمونه آسیابکاری و عملیات حرارتی شده با استفاده از پیک Fe موجود در زاویه ۴۴/۷۴

با توجه به اینکه pH یکی از مهم‌ترین پارامترهای موثر بر روی تخریب فتوکاتالیستی است، لذا در این پژوهش بهینه سازی پارامتر pH مطالعه شده است. به همین منظور محدوده pH اسیدی و بازی (۴ تا ۱۱) در غلظت رنگدانه ۵ ppm و غلظت کاتالیست ۱ g/l مورد آزمایش قرار گرفت. شکل ۵ (الف) به طور نمونه نشان‌دهنده طیف جذبی به دست آمده در pH برابر با هفت است. نتایج مربوط به درصد تخریب رنگدانه‌ها در pHهای مختلف در غلظت رنگدانه ۵ ppm و غلظت کاتالیست ۱ g/l در شکل ۵ (ب) نشان داده شده است. همان‌طور که در نمودار مشاهده می‌شود در محیط‌های بازی میزان تخریب فتوکاتالیست‌ها افزایش پیدا می‌کند و از محیط‌های اسیدی و خنثی دارای میزان تخریب رنگدانه‌ای بالاتر است. تخریب نسبی مطلوب رنگدانه‌ها یعنی ۹۱٪ در pH برابر با ۱۱ به دست آمده است. کمترین میزان فعالیت فتوکاتالیستی در محیط‌های اسیدی (pH برابر چهار) به میزان ۲۵ درصد مشاهده شد. تاثیر pH را می‌توان با pH نقطه صفر (pH_{pzc}) و ماهیت رنگدانه توضیح داد. در بررسی قبلی میزان pH_{pzc} برابر با ۷/۱ برای FeS گزارش شده است [۱۵]. در pHهای بالاتر از pH_{pzc} سطح FeS دارای بار منفی و در زیر pH_{pzc} دارای بار مثبت است. از آنجایی که MB دارای ماهیت کاتیونی است [۱]، پس این‌طور می‌توان نتیجه گرفت که افزایش pH و سطح منفی کاتالیست در جذب رنگدانه‌ها موثرتر است. دلیل دیگر برای افزایش میزان جدایش با افزایش pH، افزایش میزان OH^- است. با افزایش میزان OH^- ، هیدروکسیل‌های رادیکال بیشتری تشکیل می‌شود و در نتیجه واکنش‌های بین OH^\bullet و مولکول‌های MB بیشتر می‌شود. در نهایت رنگدانه‌های MB (با فرمول شیمیایی $C_{16}H_{18}N_3S^+$) تجزیه می‌شوند و کربن موجود در ساختار متیلن بلو تبدیل به گاز CO_2 و نیتروژن و گوگرد موجود نیز به یون‌های غیرآلی مثل نیترات، آمونیوم و یون‌های سولفات تبدیل می‌شوند [۱۶]. به منظور بررسی میزان پایداری شیمیایی نانوکامپوزیت‌های Fe-FeS پس از انجام فرآیند فتوکاتالیستی، پودرهای بازیابی شده دوباره تحت انجام فرآیند فتوکاتالیستی قرار گرفت که پس از سه بار آزمایش متوالی، تفاوت بسیار کم در حدود پنج درصد در بازده حذف آلاینده مشاهده شد که بیانگر پایداری شیمیایی پودر فتوکاتالیست است.



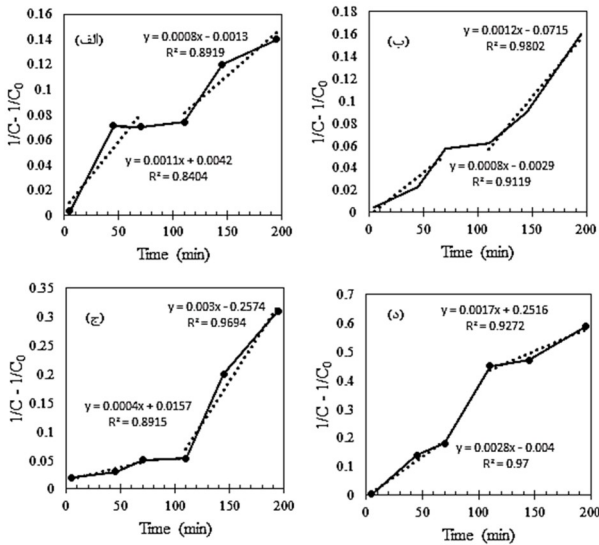
شکل ۳. تصاویر FESEM نمونه‌های (الف) مخلوط اولیه آهن و گوگرد، (ب) یک ساعت آسیابکاری شده و (ج) یک ساعت آسیابکاری و عملیات حرارتی شده در دمای ۸۵۰ درجه سانتی‌گراد.

به منظور بررسی دقیق‌تر مورفولوژی محصول نهایی از آنالیز TEM استفاده شد. شکل ۴ تصویر TEM مربوط به نمونه کامپوزیتی تهیه شده را نشان می‌دهد که ساختار فوق ریزدانه با اندازه ذرات تقریبی کمتر از ۱۵۰ نانومتر دیده می‌شود. البته ذراتی که به نظر درشت‌تر می‌آیند در حقیقت خود از چند ذره کوچکتر تشکیل شده‌اند که در کنار هم قرار گرفته‌اند. لازم به ذکر است که رسیدن به محصولی با این اندازه ذرات بسیار ریز و لذا داشتن سطح ویژه زیاد در عملکرد فوتوکاتالیستی آن بسیار موثر خواهد بود. از طرف دیگر روش پیشنهادی مکانوترمال امکان تولید نانوکامپوزیت از ماده اولیه پودر آهن میکرونی با هزینه پایین تر را فراهم کرده است.



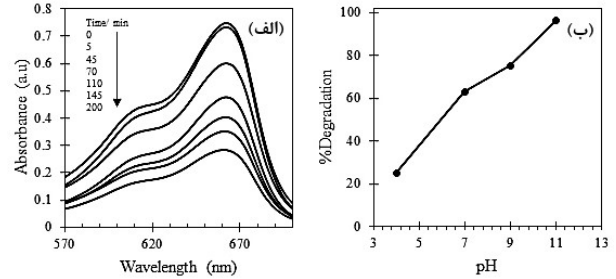
شکل ۴. تصویر TEM نمونه یک ساعت آسیابکاری و عملیات حرارتی شده در دمای ۸۵۰ درجه سانتی‌گراد.

احتمالی صورت می‌گیرد. یعنی در بازه‌های زمانی ابتدایی (۰-۷۵ دقیقه) واکنش فتوکاتالیستی به خوبی با معادله درجه یک مدل شده است. در حالی که پس از آن واکنش فتوکاتالیستی از مدل درجه دوم پیروی می‌کند. در زمان‌های ابتدایی واکنش در pH های ۱۱، ۹، ۷ و ۴ میزان انطباق (R^2) با مدل درجه یک به ترتیب ۰/۹۸، ۰/۹۸، ۰/۹۸ و ۰/۹۰ به دست آمد. اما در مورد میزان انطباق با مدل درجه دوم میزان انطباق در pH های ۱۱، ۹، ۷ و ۴ این اعداد به ترتیب ۰/۹۷، ۰/۸۹، ۰/۹۱ و ۰/۸۴ حاصل شد.



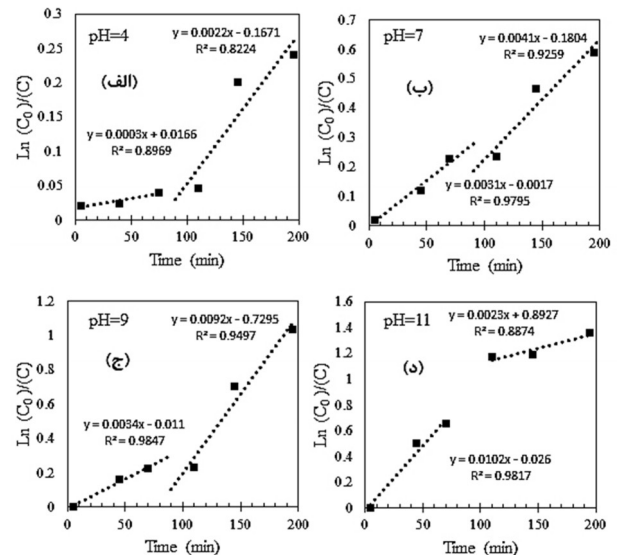
شکل ۷. سینتیک مدل درجه دو: $(\frac{1}{C} - \frac{1}{C_0})$ بر حسب زمان تابش در (الف) pH=4، (ب) pH=7، (ج) pH=9، (د) pH=11 در غلظت رنگدانه ۵ ppm با غلظت کاتالیست ۱ g/l.

این مقادیر R^2 نشان می‌دهد که در زمان‌های اولیه این واکنش از مدل درجه یک پیروی می‌کند. اما در زمان‌های بالاتر میزان انطباق با مدل درجه یک برای pH های ۱۱، ۹، ۷ و ۴ به ترتیب برابر با ۰/۸۹، ۰/۹۵، ۰/۹۳ و ۰/۸۲ محاسبه شد. همچنین میزان انطباق با مدل درجه دوم در pH های ۱۱، ۹، ۷ و ۴ به ترتیب برابر با ۰/۹۹، ۰/۹۷، ۰/۹۸ و ۰/۸۹ به دست آمد که این اعداد نشان‌دهنده انطباق بهتر واکنش فتوکاتالیستی با مدل درجه دوم در زمان‌های بالاتر است. علت تغییر سازوکار واکنش با گذشت زمان فرآیند را می‌توان به صورت زیر بیان کرد. در ابتدای واکنش (۰-۷۵ دقیقه) مقدار مکان‌های فعال سطح زیاد است و مولکول‌های MB به راحتی می‌توانند بر روی سطح کاتالیست‌ها جذب شوند و با هیدروکسیل‌های رادیکال واکنش دهند. اما بعد از گذشت زمان و در زمان‌های بالاتر (۷۵-۱۹۵



شکل ۵. (الف) طیف جذب رنگدانه در pH=7 و (ب) تاثیر pH بر روی تخریب فتوکاتالیستی.

با استناد به تحقیقات گذشته سرعت واکنش‌های فتوکاتالیستی و تاثیر pH بر روی تخریب رنگدانه‌ها با واکنش‌های درجه یک (رابطه ۳) و واکنش درجه دو (رابطه ۴) توصیف می‌شود. نمودارهای مربوط به مدل درجه یک و مدل درجه دو در شکل‌های ۶ و ۷ آورده شده است. در مدل درجه یک، $\ln \frac{[C]_0}{[C]}$ بر حسب زمان رسم شده است که شیب نمودار بیانگر ثابت سرعت درجه یک (k_1) است. در معادله درجه دوم نیز $(\frac{1}{C} - \frac{1}{C_0})$ بر حسب زمان رسم شده است که شیب نمودار مشخص‌کننده ثابت سرعت درجه دو (k_2) است.



شکل ۶. سینتیک مدل درجه یک: $\ln \frac{[C]_0}{[C]}$ بر حسب زمان تابش نور مرئی در (الف) pH=4، (ب) pH=7، (ج) pH=9، (د) pH=11 در غلظت رنگدانه ۵ ppm با غلظت کاتالیست ۱ g/l.

همچنین محاسبات مربوط به ثابت‌های سرعت درجه یک و دو در جدول ۱ آورده شده است. با توجه به نتایج به دست آمده و فاکتور R^2 محاسبه شده مربوط به هر قسمت مشخص شد که در طی فرآیند فتوکاتالیستی تغییر سازوکار

۴ - نتیجه گیری

در این پژوهش، عملکرد فتوکاتالیستی پودرهای نانوکامپوزیتی FeS-39% Fe در روش مکانوترمال مورد بررسی قرار گرفت و نتایج زیر به طور خلاصه به دست آمد:

الف) پس از یک ساعت آسیاکاری مکانیکی پودرهای آهن و گوگرد به منظور فعال سازی هیچگونه فاز جدیدی تشکیل نشد و همچنان پودرهای آهن و گوگرد فعال شده تنها فازهای موجود در مخلوط اولیه است.

ب) پس از دو ساعت عملیات حرارتی در دمای ۸۵۰ درجه سانتی گراد روی پودر یک ساعت فعال شده مکانیکی، فاز FeS در کنار آهن اولیه تشکیل شد. دلیل حضور آهن باقیمانده نسبت اولیه دو به یک آهن به گوگرد است که بخشی از آهن بدون واکنش در سیستم باقی مانده است تا امکان جدایش ذرات با اعمال میدان مغناطیسی از محلول فراهم شود.

ج) پودر کامپوزیتی تهیه شده بعد از مرحله عملیات حرارتی از تعداد زیادی پودرهای فوق ریزدانه با ابعاد کمتر از ۱۵۰ نانومتر و البته تا حدودی آگلومره شده در کنار هم تشکیل شده است.

د) پس از بررسی تاثیر pH بر روی خواص فتوکاتالیستی مشخص شد که در محیط بازی (pH=11) میزان تخریب فتوکاتالیستی رنگدانه به مراتب بالاتر از محیطهای خنثی و اسیدی است.

ه) بررسی سینتیکی تاثیر pH بر روی فعالیت فتوکاتالیستی پودرها نشان داد که در ابتدا فرآیند فتوکاتالیستی از مدل درجه یک پیروی می کند. اما با گذشت زمان تغییر سازوکار رخ داده است و از مدل درجه دو پیروی می کند.

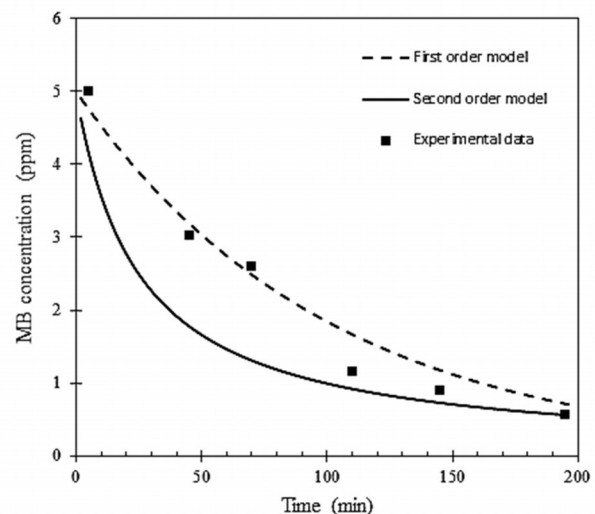
فهرست علائم

D	اندازه متوسط بلورک (nm)
K	ثابت شرر
C ₀	غلظت اولیه رنگدانه (g/l)
C	غلظت لحظه ای در زمان t (g/l)
t	زمان (min)
k ₁	ثابت سرعت درجه اول
k ₂	ثابت سرعت درجه دوم

دقیقه) جذب سطحی به دلیل کاهش میزان مکانهای فعال سطح محدود می شود و واکنش شیمیایی از نوع درجه دو کنترل کننده است. در حقیقت با گذشت زمان و به دلیل محدود شدن فرآیند جذب سطحی فرآیند به غلظت وابستگی بیشتری پیدا می کند.

جدول ۱. ثابت های سرعت درجه یک و دو برای تخریب MB در pH های مختلف.

زمان واکنش	pH	k ₁ (min ⁻¹)	k ₂ (1/ppm.min)
۷۵-۰ دقیقه	۴	۳×۱۰ ^{-۴} k ₁ = ۰٫۹۰R ² =	k ₂ =۱۱×۱۰ ^{-۴} R ² =۰٫۸۴
	۷	۳×۱۰ ^{-۴} k ₁ = ۰٫۹۸R ² =	۸×۱۰ ^{-۴} k ₂ = ۰٫۹۱R ² =
	۹	۲×۱۰ ^{-۴} k ₁ = ۰٫۹۸R ² =	۴×۱۰ ^{-۴} k ₂ = ۰٫۸۹R ² =
۱۹۵-۷۵ دقیقه	۴	۲۲×۱۰ ^{-۴} k ₁ = ۰٫۸۲R ² =	۸×۱۰ ^{-۴} k ₂ = ۰٫۸۹R ² =
	۷	۴×۱۰ ^{-۴} k ₁ = ۰٫۹۳R ² =	۱۲×۱۰ ^{-۴} k ₂ = ۰٫۹۸R ² =
	۹	۹×۱۰ ^{-۴} k ₁ = ۰٫۹۵R ² =	۳×۱۰ ^{-۴} k ₂ = ۰٫۹۷R ² =
	۱۱	۲×۱۰ ^{-۴} k ₁ = ۰٫۸۹R ² =	۸×۱۰ ^{-۴} k ₂ = ۰٫۹۹R ² =



شکل ۸. مقایسه تطابق داده های تجربی بر داده های تئوری مدل های درجه ۱ و ۲ در غلظت رنگدانه ۵ ppm با غلظت کاتالیست ۱ g/l و در pH=11.

در شکل ۸ نیز میزان تطابق مدل ها با داده های تجربی به عنوان مثال در pH برابر ۱۱ نشان داده شده است. همان طور که در نمودار مشخص در بازه های زمانی ابتدایی داده های تجربی نزدیک به مدل درجه یک هستند. در حالی که با گذشت زمان داده های تجربی به مدل درجه دو نزدیک تر است. این موضوع با نتایج به دست آمده از جدول ۱ مطابقت دارد.

علائم یونانی

β	پهنای پیک در نصف ارتفاع حداکثر (degree)
θ	زاویه براگ (degree)
λ	طول موج اشعه ایکس (\AA)
$m\beta$	پهن‌شدگی بدست آمده از الگوی پراش (degree)
β	پهن‌شدگی ناشی از خطای دستگاه (degree)

تقدیر و تشکر

نویسندگان مقاله از دانشگاه تهران و ستاد ویژه توسعه فناوری نانو به دلیل حمایت مادی از این پژوهش کمال تشکر و قدردانی را دارند.

مراجع

- Griffin, R.A. and Jurinak, J.J., Kinetics of the phosphate interaction with calcite, *Soil Science Society of America Journal*, 36 (1972) 725-729.
- Kumar, K.V. and Porkodi, K., Constrain in solving Langmuir- hinselwood kinetic expression for the photocatalytic degradation of Auramine O aqueous solutions by ZnO catalyst, *Dyes and Pigments*, 75 (2007) 246-249.
- Guinier, A. and Dexter, D.L., X-Ray Studies of Materials, Interscience Publishers, 1963.
- Mustafa, S. and Misbahud, D., Sorption Mechanism of Cadmium from Aqueous Solution on Iron Sulphide, *Chinese Journal of Chemistry*, 28 (2010) 1153-1158.
- Lachheb, H., Puzenat, E., Houas, A., Ksibi, M., Elaloui, E., Guillard, C. and Herrmann, J.M., Photocatalytic degradation of various types of dyes (Alizarin S, Crocein Orange G, Methyl Red, Congo Red, Methylene Blue) in water by UV-irradiated titania, *Applied Catalysis B*, 39 (2002) 75-90.
- Guillard, C. and Lechheb, H., Influence of chemical structure of dyes, of pH and of inorganic salts on their photocatalytic degradation by TiO_2 comparison of the efficiency of powder and supported TiO_2 , *Journal of Photochemistry and Photobiology A: Chemistry*, 158 (2003) 27-36.
- Pelaez, M., A review on the visible light active titanium dioxide photocatalysts for Environmental applications, *Applied Catalysis B: Environmental*, 125 (2012) 331-349.
- Dutta, A.K. and Maji, S.K., Synthesis of FeS and FeSe Nanoparticles from a Single Source Precursor: A Study of Their Photocatalytic Activity, Peroxidase-Like Behavior, and Electrochemical Sensing of H_2O_2 , *ACS Applied Materials & Interfaces*, 4 (2012) 1919-1927.
- Hoffmann, M.R., Martin, S.T., Choi, W. and Bahenemann, D.W., Environmental application of semiconductor photocatalysis, *Chemical Reviews*, 95 (1995) 69-96.
- Dutta, A.K. and Maji, S.K., Synthesis of FeS and FeSe Nanoparticles from a Single Source Precursor: A Study of Their Photocatalytic Activity, Peroxidase-Like Behavior, and Electrochemical Sensing of H_2O_2 , *ACS Applied Materials & Interfaces*, 4 (2012) 1919-1927.
- Maji, S.K. and Dutta, A.K., Synthesis and characterization of FeS nanoparticles obtained from a dithiocarboxylate precursor complex and their photocatalytic, electrocatalytic and biomimic peroxidase behavior, *Applied Catalysis*, 419-420 (2012) 170-177.
- Feng, H. and Si, P.Z., Large scale synthesis of FeS coated Fe nanoparticles as reusable magnetic photocatalysts, *Frontiers of Materials Science*, 7 (2013) 308-311.
- Soori, M., Zarezadeh, K., Sheibani, S. and Rashchi, F., Mechano-chemical processing and characterization of nano-structured FeS powder, *Advanced Powder Technology*, 27 (2016) 557-563.
- Suryanarayana, C., Progress in Materials Science, *Mechanical Alloying and Milling*, 46 (2001) 1-184.
- عطائی، ا.، شیبانی، س.، خیاطی، غ.، ر.، اسدی کوهنجان، س.، آلیاژ سازی و فعال سازی مکانیکی، فناوری تهیه نانو مواد، سازمان انتشارات جهاد دانشگاهی واحد تهران، ۱۳۸۵.
- Kuo, S. and Lotse, E.G., Kinetics of phosphate adsorption by calcium carbonate and Ca-kaolinite, *Soil*